

ПРИМЕНЕНИЕ МЕТОДА РЕЗОНАНСНОЙ ФЛУОРЕСЦЕНЦИИ ДЛЯ ДИАГНОСТИКИ ПЛАЗМЫ ВБЛИЗИ СТЕНКИ РАЗРЯДНОЙ КАМЕРЫ НА УСТАНОВКЕ „ТУМАН-3”

*В.С.Бураков, С.А.Мошкалева, П.А.Науменков, Г.Т.Раздобарин,
В.В.Семенов, В.М.Талыбов, Н.В.Тарасенко*

Проведены эксперименты по диагностике плазмы вблизи стенки разрядной камеры токамака. Получены пространственные и временные распределения примесных атомов металлов в режимах омического нагрева и адиабатического сжатия плазмы.

На установке „Туман-3” были выполнены эксперименты по диагностике плазмы вблизи стенки разрядной камеры методом резонансной флуоресценции. Установка „Туман-3” представляет собой токамак, предназначенный для исследования комбинированного адиабатического сжатия по малому и большому радиусам нарастающим магнитным полем ¹. Большой радиус камеры равен 55 см, малый радиус 25 см, высота диафрагмы 1 – 1,2 см. Цельнометаллическая разрядная камера сделана из нихрома толщиной 1,2 мм. Величина продольного магнитного поля в описываемых экспериментах в режиме омического нагрева была 0,3 – 0,4 Тл и достигала 0,9 Тл в режиме адиабатического сжатия. Ток омического нагрева был около 70 кА, концентрация электронов – около 10^{13} см⁻³.

Разработанный вариант диагностической аппаратуры предназначен для возбуждения и регистрации флуоресцентного излучения атомов Fe и Ni, имеющих вблизи стенки камеры установки „Туман-3”. Предусмотрена возможность возбуждать атомы с отдельных уровней тонкой структуры состояний Fe I $a^5 D$ и Ni I $a^3 F$. С этой аппаратурой можно также исследовать ряд других атомов и ионов, в частности, Ti I, Ti II, Cr I, Al I ². Для возбуждения флуоресценции использовалась вторая гармоника излучения лазера на растворе родамина 4C ($\lambda = 285 - 310$ нм). Накачка красителя осуществлялась второй гармоникой лазера на неодимовом стекле. Параметры ультрафиолетового излучения были следующие: мощность в импульсе 20 – 50 кВт, длительность импульса около 20 нс. Для настройки и контроля длины волны зондирующего ультрафиолетового излучения с точностью 0,01 нм использовался оптогальванический эффект в лампах с полным катодом ЛСП-1.

В экспериментах исследовались пространственные и временные распределения концентрации атомов железа. Возбуждалась резонансная линия Fe I $a^5 D_4 - y^5 D_4^0$ ($\lambda = 302, 06$ нм). Ширина линии зондирующего излучения (0,03 нм) превышала доплеровскую ширину линий поглощения атомов примесей в пристеночной области токамака ³. Наблюдение излучения флуоресценции атомов железа производилось на смещенной линии, соответствующей переходу $y^5 D_4^0 - a^5 F_5$ ($\lambda = 382, 04$ нм), что позволяло существенно снизить уровень паразитно рассеянного излучения. Ввод лазерного излучения в камеру осуществлялся через вертикальный патрубок перпендикулярно экваториальной плоскости тора. Для увеличения посту-

пления в разряд примесных атомов железа внутренняя стенка лазерного патрубка (материал — нихром) была обернута фольгой из нержавеющей стали. Края фольги выступали из патрубка внутрь камеры с таким расчетом, чтобы не выходить за пределы тени диафрагмы (примерно на 10 мм). Наблюдение флуоресценции производилось последовательно из разных участков плазмы, расположенных вдоль оси патрубка в области, ограниченной тенью диафрагмы и вне ее. Лазерный пучок имел прямоугольное сечение, вытянутое вдоль оси наблюдения с размерами $2 \times 0,5 \text{ см}^2$. Телесный угол сбора света составлял около $5 \cdot 10^{-3}$ ср. Участок плазмы вдоль лазерного луча проектировался системой из двух линз на щель монохроматора МДР-2 с 3-х кратным уменьшением. Входная и выходная щели шириной 1 мм (спектральная ширина 2 нм) ограничивали участок спектра собственного свечения плазмы.

Измерения осуществлялись в условиях насыщения возбуждаемого оптического перехода (параметр насыщения $S \approx 10$). В условиях эксперимента минимально регистрируемая концентрация атомов железа составляла около $3 \cdot 10^6$ атомов в см^3 . Чувствительность ограничивалась в основном флуктуациями фототока с катода ФЭУ, обусловленного флуоресцентным излучением. Шум собственного свечения плазмы при регистрации флуоресцентного излучения из области в тени диафрагмы был в несколько раз меньше амплитуды регистрируемого сигнала.

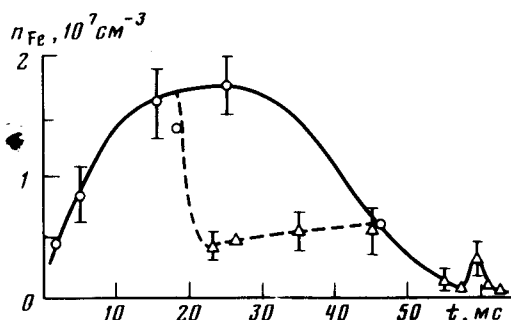


Рис.1. \circ — Режим омического нагрева, \triangle — режим адиабатического сжатия, начало сжатия при $t = 20 \text{ мс}$

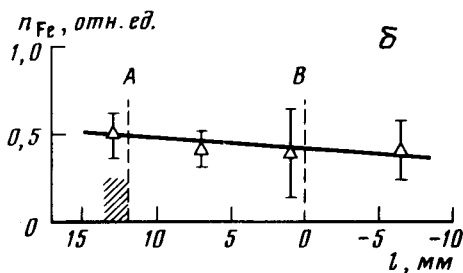
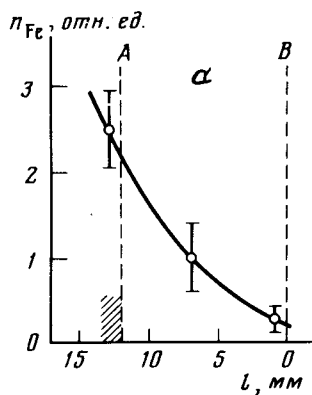


Рис.2. а — Режим омического нагрева, б — режим адиабатического сжатия; В — край диафрагмы, промежуток АВ — тень диафрагмы

На рис.1 представлены временные зависимости концентрации примесных атомов железа вблизи стенки камеры для двух режимов разряда. Максимальные значения концентрации атомов железа в режиме омического нагрева были зарегистрированы в средней стадии разряда и составляли около $2 \cdot 10^7 \text{ см}^{-3}$. Как видно из рисунка, сжатие плазмы приводит к значительному ослаблению потока примесных атомов со стенки.

На рис. 2, а, б показаны пространственные распределения концентрации атомов железа вблизи стенки разрядной камеры. В режиме омического нагрева нейтральные атомы железа наблюдаются лишь в области, ограниченной тенью диафрагмы. Концентрация атомов быстро падает от стенки к краю диафрагмы. Малая концентрация железа на краю, по-видимому, обусловлена высокой скоростью ионизации атомов электронным ударом на границе плазменного шнура, формируемого диафрагмой. Существенно другое пространственное распределение атомов железа наблюдается в режиме адиабатического сжатия плазмы. Значения концентрации атомов у края диафрагмы и ближе к центру плазмы (на расстоянии около 10 мм от края диафрагмы) мало отличаются от концентрации у стенки. Это связано, скорее всего, с уменьшением скорости ионизации из-за уменьшения концентрации электронов вблизи диафрагмы.

Наряду с исследованиями примесных атомов железа на установке „Туман-3” были выполнены измерения концентрации атомов никеля. Возбуждался переход $a^3F_4 - y^3F_3^0$ ($\lambda = 301, 91$ нм), наблюдался сигнал флуоресценции, соответствующий переходу $y^3F_3^0 - a^3D_2$ ($\lambda = 310, 15$ нм). Измеренная вблизи стенки максимальная концентрация атомов Ni составляла $(2 \div 3) \cdot 10^7$ см⁻³.

В заключение авторы благодарят В.Е.Голанта за внимание к работе и коллектив установки „Туман-3” за помощь в проведении экспериментов.

Литература

1. Vorobjev G.M. et al. Proc. II Joint Grenoble – Varenna Int. Symp. on Heating in Tor. Plasmas, 1980, 985, Como, Italy.
2. Husinsky W.R. J. of Vac. Science and Techn., 1981, 18, 1054.
3. Schweer B., Rusbuldt D., Hintz E., Roberto J.B., Husinsky W.R. J. of Nucl. Mater, 1980, 93/94, 357.

Физико-технический институт
им. А.Ф.Иоффе
Академии наук СССР

Институт физики
Академии наук Белорусской ССР

Поступила в редакцию
14 февраля 1983 г.